

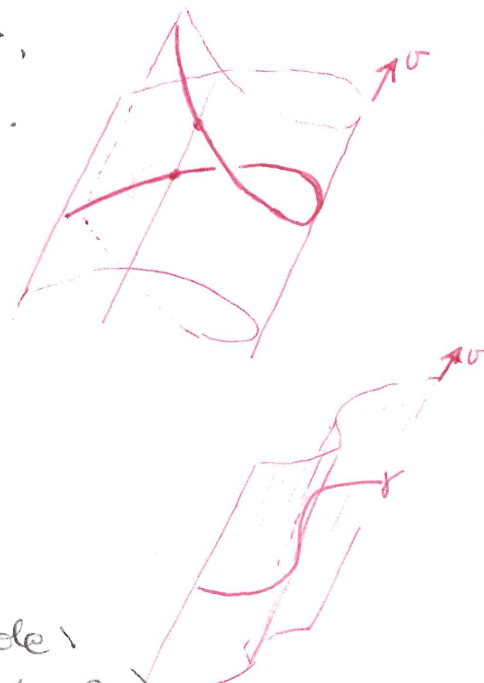
Questa settimana sarà dedicata ad alcune classi di Esempi,
che vanno affrontati sia come esercizi, sia come parte integrante della "lezione".
Vedremo con qualche dettaglio:

- cilindri, coni, sviluppabili delle tangenti (sono le sup. loc. isometriche al piano!)
- superficie di ROTAZIONE, in particolare i TORI immersi in \mathbb{R}^3
- superficie ELICOIDALI
- superficie RIGATE

ma si potranno trovare altri esempi nelle dispense del corso,
per esempio le superficie TUBULARI.

In ogni caso cercheremo di "esplicitare" tutte le nostre lezioni:
primarie e seconde forme, curvatura, curvatura e tipi di punti,
linee coordinate, asintotiche, geodetiche, eventuali isometrie o
mappe interessanti

Dato una curva $\gamma \in \mathbb{R}^3$ e un vettore $v \in \mathbb{R}^3$ definiti sono
 il CILINDRO DI BASE γ e DIREZIONE v : unione delle rette $\gamma(s) + \langle v \rangle$,
 quindi con parametrizzazione $\sigma(s,t) = \gamma(s) + tv$ con $(s,t) \in I \times \mathbb{R}$.



Si vede subito che questa parametrizzazione è NIETIVA se
 non esistono secanti di γ che siano parallele a v e in tal
 caso possiamo ottenere lo stesso cilindro usando una curva
 γ che sia PIANA su un piano ortogonale a v (un'intersezione
 del cilindro con quel piano).

Tuttavia è possibile semplificare i calcoli anche nella situazione generale.

$$\sigma_s = \gamma', \quad \sigma_t = v, \quad \text{quindi } G_I = \begin{pmatrix} \|\gamma'\|^2 & \gamma' \cdot v \\ \gamma' \cdot v & \|v\|^2 \end{pmatrix} \stackrel{\substack{\text{se } \|\gamma'\|=1 \\ \|v\|=1}}{=} \begin{pmatrix} 1 & \cos \varphi \\ \cos \varphi & 1 \end{pmatrix} \stackrel{\text{se } \gamma' \perp v}{=} \begin{pmatrix} 1 & 0 \\ 0 & 1 \end{pmatrix}$$

$$h = \frac{\gamma' \times v}{\|\gamma' \times v\|}, \quad \sigma_{ss} = \gamma'', \quad \sigma_{st} = 0, \quad \sigma_{tt} = 0, \quad G_{II} = \begin{pmatrix} -\frac{\gamma' \times \gamma'' \cdot v}{\|\gamma' \times v\|} & 0 \\ 0 & 0 \end{pmatrix} \stackrel{\substack{\text{se } \|\gamma'\|=1 \\ \|v\|=1}}{=} \begin{pmatrix} -\|\gamma''\| \frac{\cos \varphi}{\sin \varphi} & 0 \\ 0 & 0 \end{pmatrix} \stackrel{\text{se } \gamma' \perp v}{=} \begin{pmatrix} -k_\gamma & 0 \\ 0 & 0 \end{pmatrix}$$

la curvatura di Gauss risulta identicamente nulla.

Il sistema delle geodetiche in generale è difficile, ma per $\|\gamma'\|=1=\|v\|$ e $\gamma' \perp v$
 diventa facile.

EsPLICITIAMO MEGLIO I CONTI CON γ CURVATURA E $\gamma' \perp \nu$,

POSSIAMO SCRIVERE $\gamma = \begin{pmatrix} x(s) \\ y(s) \\ 0 \end{pmatrix}$, $\nu = \begin{pmatrix} 0 \\ 0 \\ 1 \end{pmatrix}$ PUNTO $\sigma(s,t) = \begin{pmatrix} x(s) \\ y(s) \\ t \end{pmatrix}$, DA CUI:

$$\sigma_s = \begin{pmatrix} x' \\ y' \\ 0 \end{pmatrix}, \quad \sigma_t = \begin{pmatrix} 0 \\ 0 \\ 1 \end{pmatrix} \quad \text{e} \quad G_I = \begin{pmatrix} x'^2 + y'^2 & 0 \\ 0 & 1 \end{pmatrix} = \begin{pmatrix} 1 & 0 \\ 0 & 1 \end{pmatrix} \text{ SUPPONENDO } \gamma \text{ UNITARIO, } \|\gamma'\|^2 = x'^2 + y'^2 = 1.$$

$$h = \frac{\sigma_s \times \sigma_t}{\|\sigma_s \times \sigma_t\|} = \begin{pmatrix} y' \\ -x' \\ 0 \end{pmatrix}, \quad \sigma_{ss} = \begin{pmatrix} x'' \\ y'' \\ 0 \end{pmatrix}, \quad \sigma_{st} = \begin{pmatrix} 0 \\ 0 \\ 0 \end{pmatrix}, \quad \sigma_{tt} = \begin{pmatrix} 0 \\ 0 \\ 0 \end{pmatrix} \quad \text{e} \quad G_{II} = \begin{pmatrix} y'x'' - x'y'' & 0 \\ 0 & 0 \end{pmatrix} = \begin{pmatrix} -K_\gamma & 0 \\ 0 & 0 \end{pmatrix}$$

DUINQUE $K = 0$, $H = -K_\gamma/2$, E TUTTI I PUNTI SONO PARABOLICI SE $K_\gamma \neq 0$.

$$L = G_I^{-1} G_{II} = G_{II}.$$

LE LINEE DI CURVATURA SONO LE LINEE COORDINATE DELLE PARAMETRI ADDIZIONE (L E' GEODESICHE)

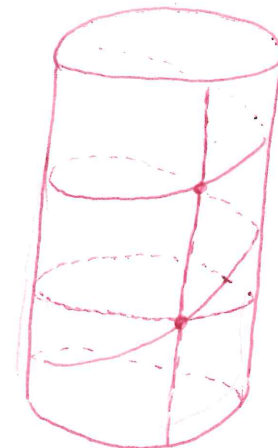
LE LINEE ASINTOTICHE SONO QUELLE CON DIRETTORE $\begin{pmatrix} 0 \\ 0 \\ 1 \end{pmatrix}$, PUNTO $s = s_0$ COSTANTE, SONO LE RETTE E CILINDRO

PER LE LINEE GEODETICHE OBTENIAMO IL SISTEMA $\begin{cases} s'' = 0 \\ t'' = 0 \end{cases}$ CIOE' $\begin{cases} s(u) = s_0 + us_1 \\ t(u) = t_0 + ut_1 \end{cases}$

$$\text{E SONO } \sigma(s(u), t(u)) = \begin{pmatrix} x(s(u)) \\ y(s(u)) \\ t(u) \end{pmatrix} = \begin{pmatrix} x(s_0 + us_1) \\ y(s_0 + us_1) \\ t_0 + ut_1 \end{pmatrix}$$

E HANNO LA FORMA DI "GLIDE" CHE SI DAZZANO SUL CILINDRO:

NOTARE CHE PER DUE PUNTI DISTINTI POSSONO PASSARE DIVERSE GEODETICHE, QUINDI NON E' DATO DA UNA GEODETICA PER DUE PUNTI SE E' DI "MINORE DISTANZA" (UNA E' UNA "CUNA CRITICA" PER LA LUNGHEZZA, CIOE' PICCOLE DEFORMAZIONI AUMENTANO LA LUNGHEZZA!



Vediamo infine che i cilindri sono localmente isometrici al piano:

usando per il piano parametrizzazione cartesiana, allora abbiamo una mappa dal piano al cilindro componendo con le carte:

$$\begin{array}{ccc}
 \text{PIANO} & \dashrightarrow & \text{CILINDRO } \gamma(s)+t\sigma \\
 \uparrow & & \uparrow \\
 \text{PIANO} & \xrightarrow{\text{id}} & \text{PIANO } (s,t) \\
 (s,t) & \longleftarrow & (s,t)
 \end{array}$$

e abbiamo $G_{\text{piano}} = \mathbb{1}_2$, $G_{\text{cilindro}} = \mathbb{1}_2$, la carta è isobaria, dunque Jac. del id è $\mathbb{1}_2$, chiaramente una isometria!

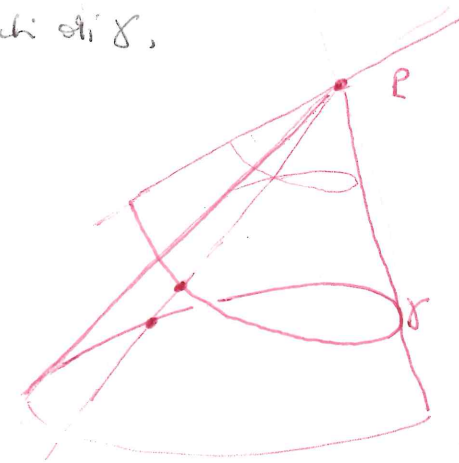
Da notare quindi che le geodetiche del cilindro sono proprio le immagini delle geodetiche del piano (cioè delle rette del piano).

Problema: quali sono le ISOMETRIE del cilindro in sé?

Se ne vedono alcune ovvie, per esempio le traslazioni nelle direzioni di σ , oppure le traslazioni di parametro d'arco delle curve γ .

Ma ce ne sono molte altre: perché?

Dato una curva $\gamma \subseteq \mathbb{R}^3$ e un punto $P \in \mathbb{R}^3$, γ definiamo il cono di BASE γ e VERTICE P : Unione delle rette da P ai punti di γ , quindi con parametrizzazione $\sigma(s,t) = P + t(\gamma(s) - P)$ e A PARTE IL VERTICE ($t=0$) e iniettare esse ogni retta per P contiene al più un punto della curva γ .



Allora possiamo supporre $P = \text{origine}$, γ curva sferica unitaria sulla sfera unitaria

(basta intersecare il cono con la sfera unitaria!):

$$\sigma(s,t) = t\gamma(s), \text{ dunque } \sigma_s = t\gamma' \quad \sigma_t = \gamma \text{ e } G_I = \begin{pmatrix} \|\gamma\|^2 & t\gamma \cdot \gamma' \\ & t^2 \|\gamma'\|^2 \end{pmatrix} = \begin{pmatrix} 1 & 0 \\ 0 & t^2 \end{pmatrix}$$

$$n = \frac{t\gamma \times \gamma'}{\|t\gamma \times \gamma'\|} = \gamma \times \gamma', \quad \sigma_{tt} = 0, \quad \sigma_{ts} = \gamma', \quad \sigma_{ss} = t\gamma'', \text{ e } G_{II} = \begin{pmatrix} 0 & 0 \\ 0 & t\gamma \times \gamma' \cdot \gamma'' \end{pmatrix} = \begin{pmatrix} 0 & 0 \\ 0 & tJ \end{pmatrix}$$

$$\text{e } L = G_I^{-1} G_{II} = \begin{pmatrix} 0 & 0 \\ 0 & J/t \end{pmatrix}.$$

Dunque abbiamo $K = 0$, $H = J/2t$, dunque punti parabolici se $J \neq 0$,
 Linee di curvatura sono quelle coordinate (dipende dalle ipotesi su γ),
 Linee asintotiche: sono le rette $\sigma(t, s_0)$ per s_0 costante.

Consideriamo le geodesiche: ricordiamo $G_I = \begin{pmatrix} 1 & 0 \\ 0 & t^2 \end{pmatrix}$,

quindi il sistema $\begin{cases} (t')' = \frac{1}{2}(2ts'^2) \\ (t^2s')' = 0 \end{cases}$ e usiamo: $s'=0 \Rightarrow t''=0$ (rette per vertice)

altrimenti $s' \neq 0$ e procediamo con CLAYTON:

$t^2s' = c$, quindi $s' = \frac{c}{t^2}$, e sostituiamo nelle unitarietà $t'^2 + t^2s'^2 = 1$,

quindi $t'^2 + \frac{c^2}{t^2} = 1$, cioè $t' = \frac{\sqrt{t^2 - c^2}}{t}$,

$\frac{ds}{dt} = \frac{s'}{t'} = \frac{c}{t\sqrt{t^2 - c^2}}$, che si integra subito:

$$s(t) = \int \frac{c}{t\sqrt{t^2 - c^2}} dt = \arccos\left(\frac{c}{|t|}\right) + s_0$$

e le altre geodesiche sono $t \cdot \gamma\left(s_0 + \arccos\left(\frac{c}{|t|}\right)\right)$.

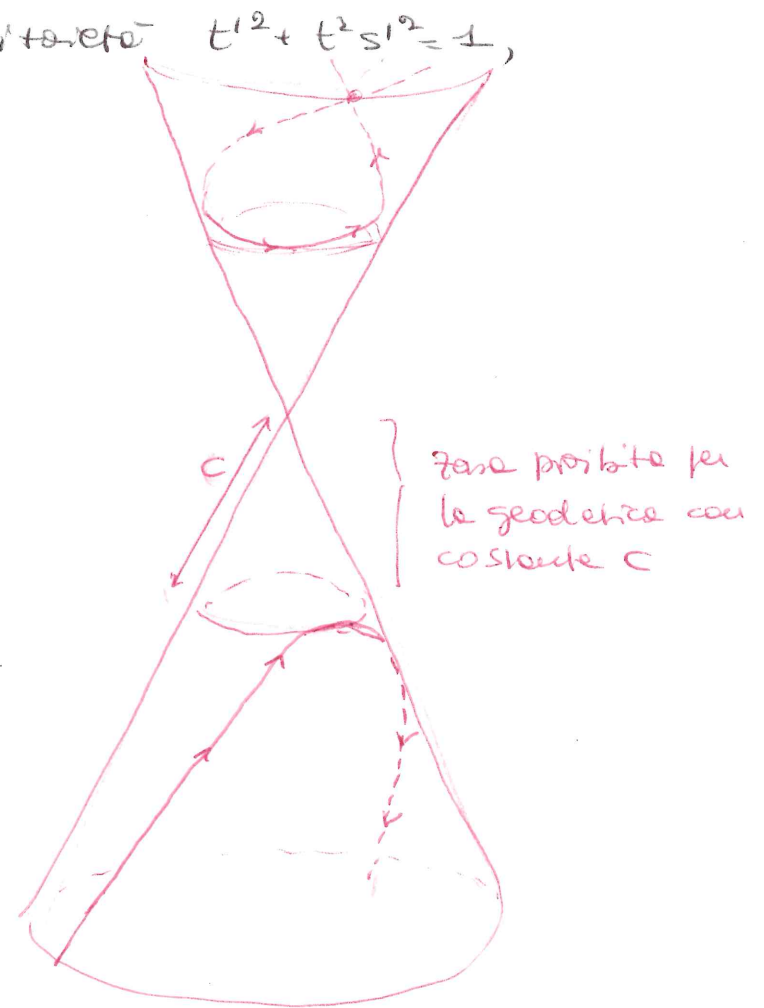
Vediamo lo studio "predittivo":

le limitazioni $\frac{c^2}{t^2} \leq 1$ da $t^2 \geq c^2$,

e (siccome $|t|$ è la distanza dal vertice)

la GEODESICA non può avvicinarsi troppo al vertice! e risulta inoltre:

solo le rette, tra le geodesiche, possono arrivare al vertice.



Anche i conici sono localmente isometrici al piano,

ma conviene usare coordinate polari del piano, liste G_I dal ~~conico~~ cono:

$$\begin{pmatrix} x \\ y \end{pmatrix} = \begin{pmatrix} p \cos \varphi \\ p \sin \varphi \end{pmatrix} \quad \text{PIANO} \setminus \{0\} \xrightarrow{\varphi} \text{CONO} \setminus \{\text{vertice}\} \quad t, \gamma(s)$$



$$\begin{pmatrix} \sqrt{x^2+y^2}, \arctan \frac{y}{x} \end{pmatrix} = (p, \vartheta) \quad \text{PIANO} \longrightarrow \text{PIANO} \quad \begin{matrix} t, s \\ \gamma(t, s) \end{matrix}$$

$$(p, \vartheta) \longleftarrow (p, \vartheta)$$

obteniamo $G_{\text{piano}} = \begin{pmatrix} 1 & 0 \\ 0 & p^2 \end{pmatrix}$, $\varphi = \text{identità sulle param.}$, $G_{\text{cono}} = \begin{pmatrix} 1 & 0 \\ 0 & t^2 \end{pmatrix}$

prendi chiaramente una ISOMETRIA (che è $(x, y) \mapsto \sqrt{x^2+y^2} \gamma(\arctan(\frac{y}{x}))$).

Possiamo ritrovare allora le geodetiche del ~~piano~~ cono facendo

l'immagine delle rette del piano.

Problema: quali sono le isometrie del cono in sé?

Dato una curva bi-regolare $\gamma \subseteq \mathbb{R}^3$ definiamo la SRIWAPPASILE delle TANGENTI di γ :

è l'unione delle rette tangenti a γ , parametrizzata da $\sigma(u, s) = \gamma(s) + u\gamma'(s)$.

Supponiamo γ unitaria e ricordiamo che $\gamma' = t_\gamma$, $\gamma' \perp \gamma''$

Allora: $\gamma'' = \kappa_\gamma n_\gamma$ ($n_\gamma = \frac{\gamma''}{\|\gamma''\|}$)

$$\sigma_u = \gamma' = t_\gamma, \quad \sigma_s = \gamma' + u\gamma'' = t_\gamma + u\kappa_\gamma n_\gamma,$$

$$\begin{aligned} \gamma''' &= \kappa'_\gamma n_\gamma + \kappa_\gamma n'_\gamma = \\ &= -\kappa_\gamma^2 t_\gamma + \kappa'_\gamma n_\gamma + \kappa_\gamma \tau_\gamma b_\gamma \end{aligned}$$

note: lungo $u=0$ (la curva originale!)

i due vettori sono dipendenti, quindi lì la sf non è regolare!

quindi $G_I = \begin{pmatrix} 1 & 1 \\ 1 & 1+u^2\kappa_\gamma^2 \end{pmatrix}$ (notare che dipende da u e anche da s tramite κ_γ).

$$n_\sigma = \frac{\sigma_u \times \sigma_s}{\|\sigma_u \times \sigma_s\|} = b_\gamma, \quad \sigma_{uu} = 0, \quad \sigma_{us} = \gamma'' = \kappa_\gamma n_\gamma, \quad \sigma_{ss} = \gamma'' + u\gamma''' = -u\kappa_\gamma^2 t_\gamma + (\kappa_\gamma + u\kappa'_\gamma) n_\gamma + u\kappa_\gamma \tau_\gamma b_\gamma$$

quindi $G_{II} = \begin{pmatrix} 0 & 0 \\ 0 & u\kappa_\gamma \tau_\gamma \end{pmatrix}$

$$e \quad L = G_I^{-1} G_{II} = \frac{1}{u^2\kappa_\gamma^2} \begin{pmatrix} 1+u^2\kappa_\gamma^2 & -1 \\ -1 & 1 \end{pmatrix} \begin{pmatrix} 0 & 0 \\ 0 & u\kappa_\gamma \tau_\gamma \end{pmatrix} = \frac{\tau_\gamma}{u\kappa_\gamma} \begin{pmatrix} 0 & -1 \\ 0 & 1 \end{pmatrix}$$

da qui $K=0$, $H = \tau_\gamma / 2u\kappa_\gamma$ e i punti sono parabolici o planari.

Le linee asintotiche hanno direzione $\begin{pmatrix} 1 \\ 0 \end{pmatrix}$ e sono le rette $\sigma(u, s)$

Le linee di curvatura hanno direzioni $\begin{pmatrix} 1 \\ 0 \end{pmatrix}$ e $\begin{pmatrix} -1 \\ -1 \end{pmatrix}$, cioè le curve $\sigma(u, -u)$.

Le sviluppabili delle tangenti di una curva sono superficie isometriche al piano, scrivere una isometria esplicita è complicato, ma si può rispondere così:
 La pff della sviluppabile dipende solo da K_r e non da τ_r ,
 quindi sviluppabili di curve con la stessa curvatura saranno isometriche,
 e possiamo trovare curve piane con quella curvatura K_r ,
 notevolmente la sviluppabile di una curva piana è una REGIONE DI PIANO.

Esercizio: provare a scrivere le sviluppabili in modo che la pff diventi
 d'egonale, usando le linee di curvatura che abbiamo trovato,
 dovrebbe venire la parametrizzazione $\sigma(u, s) = \gamma(s) + (u-s)\gamma'(s)$,
 e provare a scrivere il sistema delle geodetiche.

È un risultato classico, ma non facilissimo da mostrare, che:
 LE UNICHE SUPERFICIE (immesse in \mathbb{R}^3) isometriche (locali) al piano
 sono i cilindri, i coni e le sviluppabili delle tangenti -

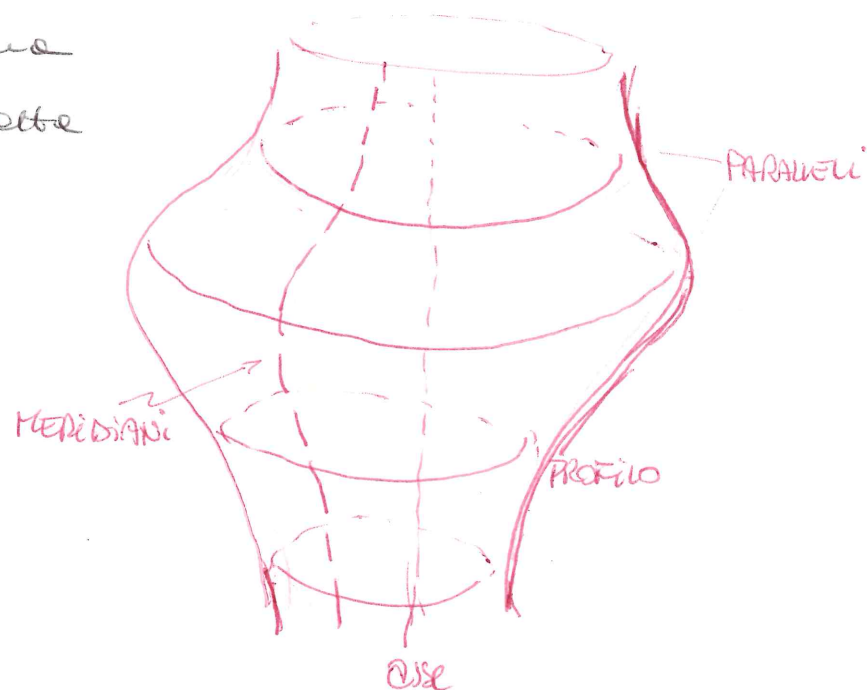
Studiamo ora le SUPERFICIE DI ROTAZIONE: per definizione sono le superficie descritte da una curva piana che viene fatta ruotare attorno ad una retta del piano che non la interseca.

Usando come asse la retta $\langle \begin{pmatrix} 0 \\ 0 \\ 1 \end{pmatrix} \rangle$,
e come profilo la curva $\gamma(s) = \begin{pmatrix} x(s) \\ 0 \\ z(s) \end{pmatrix}$

otteniamo una parametrizzazione del tipo

$$\sigma(s, \theta) = \begin{pmatrix} x(s) \cos \theta \\ x(s) \sin \theta \\ z(s) \end{pmatrix}$$

e se la curva γ ha equazione cartesiana $f(x, z) = 0$
possiamo trovare una equazione cartesiana per σ
della forma $f(\sqrt{x^2 + y^2}, z) = 0$.



Vediamo i calcoli standard con la parametrizzazione $\sigma(s, \theta) = \begin{pmatrix} x(s) \cos \theta \\ x(s) \sin \theta \\ z(s) \end{pmatrix}$:

$$\sigma_s = \begin{pmatrix} x_s \cos \theta \\ x_s \sin \theta \\ z_s \end{pmatrix}, \quad \sigma_\theta = \begin{pmatrix} -x \sin \theta \\ x \cos \theta \\ 0 \end{pmatrix} \text{ dunque } G_I = \begin{pmatrix} x_s^2 + z_s^2 & 0 \\ 0 & x^2 \end{pmatrix} = \begin{pmatrix} 1 & 0 \\ 0 & x^2 \end{pmatrix}$$

se $\|\gamma'\| = x_s^2 + z_s^2 = 1$.

de nostre due meridiane e paralleli sono ortogonali,

$$n = \frac{\sigma_s \times \sigma_\theta}{\|\sigma_s \times \sigma_\theta\|} = \frac{1}{\sqrt{x_s^2 + z_s^2}} \begin{pmatrix} -z_s \cos \theta \\ -z_s \sin \theta \\ x_s \end{pmatrix}, \quad \sigma_{ss} = \begin{pmatrix} x_{ss} \cos \theta \\ x_{ss} \sin \theta \\ z_{ss} \end{pmatrix}, \quad \sigma_{s\theta} = \begin{pmatrix} -x_s \sin \theta \\ x_s \cos \theta \\ 0 \end{pmatrix}, \quad \sigma_{\theta\theta} = \begin{pmatrix} -x \cos \theta \\ -x \sin \theta \\ 0 \end{pmatrix},$$

$$\text{quindi } G_{II} = \frac{1}{\sqrt{x_s^2 + z_s^2}} \begin{pmatrix} -z_s x_{ss} + x_s z_{ss} & 0 \\ 0 & x z_s \end{pmatrix} = \begin{pmatrix} -k_g & 0 \\ 0 & x z_s \end{pmatrix}$$

se $\|\gamma'\| = 1$.

$$L = G_I^{-1} G_{II} = \begin{pmatrix} -k_g & 0 \\ 0 & z_s/x \end{pmatrix}$$

$$K = -\frac{k_g z_s}{x} \quad (\text{se } z_s > 0, \text{ allora i punti sono ellittici/iperbolici a sc. } k_g \text{ sia negativo/positivo})$$

Si come L è diagonale, le linee coordinate sono le linee di curvatura.

Dove esistono e come trovare le linee asintotiche?

devono essere curve $\sigma(u, v)$ tale che γ' sia isotropo per II ,

$$\text{quindi } -k_g s'^2 + x z_s v'^2 = 0, \text{ equazione differenziale (per } s' = \frac{\partial s}{\partial u}, v' = \frac{\partial v}{\partial u},$$

per una fare confusione con questi abbiamo scritto $x_s = \frac{d}{ds} x(s)$ invece di $x' \dots$).

Studiamo le geodetiche: si tratta di un caso di CLAIRAUT per il pendolo
 da s e una da ϑ (note: chiaramente le notazioni sono isometriche per queste superficie!)

da $G_I = \begin{pmatrix} 1 & 0 \\ 0 & x(s)^2 \end{pmatrix}$ otteniamo il sistema $\begin{cases} (s')^2 = \frac{1}{2}(2xx_s\vartheta'^2) = xx_s\vartheta'^2 \\ (x^2\vartheta')' = 0 \end{cases}$

e vediamo subito alcune soluzioni facili:

- ① $\vartheta' = 0$ da $\vartheta = \vartheta_0$ costante e $s'' = 0$: questi sono i MERIDIANI (profili meridiani)
- ② $s' = 0$ impone $x_s = 0$, cioè tangente del profilo parallelo all'asse, quindi sono i punti critici, minimi e massimi, del profilo con $\vartheta'' = 0$ da IPARALLELI di MINIMO e MASSIMO del profilo.
 (gli altri paralleli quindi non sono geodetiche!).

in generale poi:

- ③ $x^2\vartheta' = c$ costante lungo la geodetica cercata,
 quindi $\vartheta' = \frac{c}{x^2}$ e vediamo che ϑ' ha sempre lo stesso segno, quindi le geodetiche
 ruotano sempre nello stesso verso attraverso la superficie

Sostituendo nella unitarietà $s'^2 + x^2\vartheta'^2 = 1$ si trova $s'^2 + \frac{c^2}{x^2} = 1$

da cui $s' = \frac{\sqrt{x^2 - c^2}}{x}$ e $\frac{d\vartheta}{ds} = \frac{\vartheta'}{s'} = \frac{c}{x\sqrt{x^2 - c^2}}$

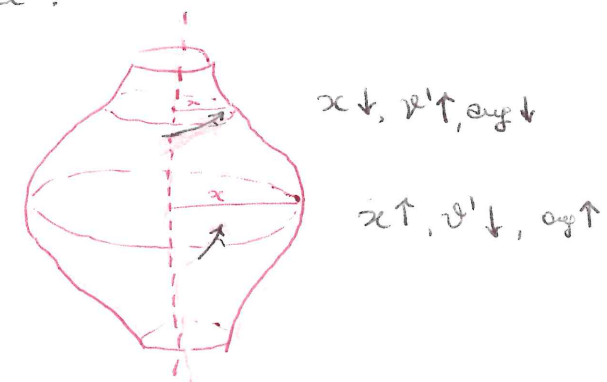
e dovremmo integrare $d\vartheta = \frac{c ds}{x(s)\sqrt{x(s)^2 - c^2}}$, che di solito è piuttosto difficile.

Passiamo allo studio qualitativo:

abbiamo $\frac{c^2}{x^2} \leq 1$, cioè $x^2 \geq c^2$ (quindi le geodetiche non possono avvicinarsi troppo all'asse)

e cos angolo geod. parall = $\frac{(s' \vartheta') \begin{pmatrix} 1 & 0 \\ 0 & x^2 \end{pmatrix} \begin{pmatrix} 0 \\ 1 \end{pmatrix}}{|x|} = \frac{x^2 \vartheta'}{x} = \frac{c}{x}$, quindi:

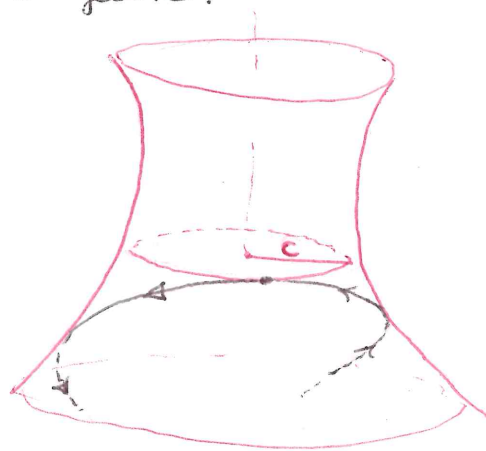
ciò: se x aumenta (allontanamento dall'asse),
allora ϑ' diminuisce (si ruota più lentamente)
e l'angolo geod. par. aumenta:



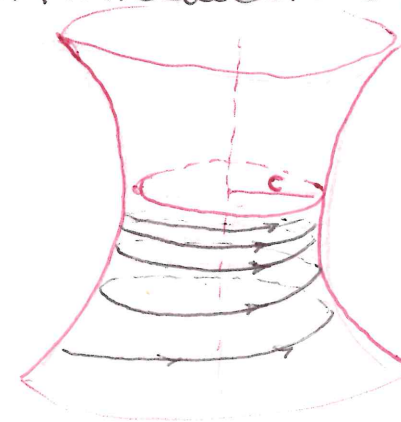
Cosa succede quando ci si avvicina al limite $x^2 \geq c^2$?

Vi sono due casi possibili:

- se $x=c$ non è minimo del profilo
allora quel parallelo non è geodetica,
e la nostra geodetica rimbalza dopo
aver toccato il parallelo con angolo 0,
tangente:



- se $x=c$ è minimo del profilo, allora è
geodetica, e la nostra geodetica non può
raggiungerla (altrimenti sarebbe tangente,
e ci sarebbero 2 geodetiche per quel punto
con stesse tangente) quindi tende
asintoticamente a quel parallelo:



aumenta ϑ' e
non ritorna indietro!

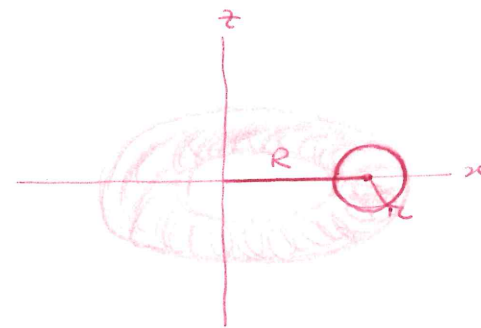
Studiamo in particolare i TORI:

rotazione attorno all'asse z del profilo $z^2 + (x-R)^2 = r^2$

può d'equazione $z^2 + (\sqrt{x^2+y^2} - R)^2 = r^2$

L'equazione parametrica del profilo è $\begin{pmatrix} R+r\cos\varphi \\ 0 \\ r\sin\varphi \end{pmatrix}$

e quindi una parametrizzazione del toro immerso è $\sigma(\vartheta, \varphi) = \begin{pmatrix} (R+r\cos\varphi)\cos\vartheta \\ (R+r\cos\varphi)\sin\vartheta \\ r\sin\varphi \end{pmatrix}$



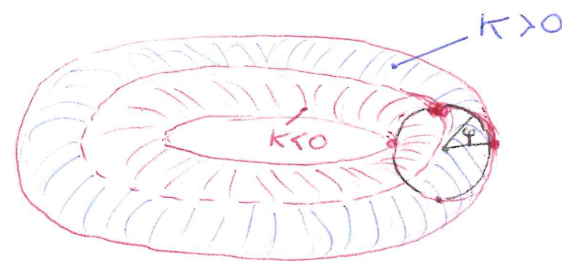
Si calcola velocemente (!):

$$G_I = \begin{pmatrix} (R+r\cos\varphi)^2 & 0 \\ 0 & r^2 \end{pmatrix}$$

$$G_{II} = \begin{pmatrix} -(R+r\cos\varphi)\cos\varphi & 0 \\ 0 & -r \end{pmatrix}$$

$$L = G_I^{-1} G_{II} = \begin{pmatrix} -\frac{\cos\varphi}{(R+r\cos\varphi)} & 0 \\ 0 & -1/r \end{pmatrix}$$

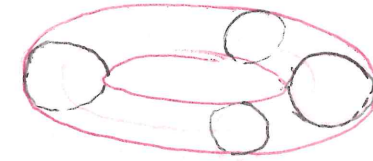
$$K = \frac{\cos\varphi}{r(R+r\cos\varphi)} \quad \text{che è } \begin{cases} \geq 0 & \text{sse } \cos\varphi \geq 0 \\ \leq 0 & \text{sse } \cos\varphi \leq 0 \end{cases}$$



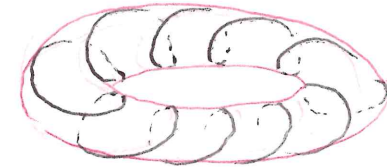
L'obiettivo per esercizio scrivere esplicitamente le equazioni delle geodetiche e la loro riduzione a una equazione del primo ordine.

Usiamo invece la limitazione: $R + r \cos \vartheta \geq c$ per vedere i diversi tipi:

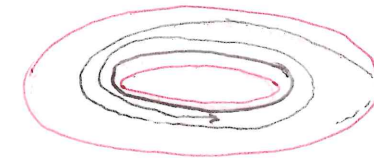
(1) se $c = 0$ otteniamo $\vartheta' = 0$, $\vartheta = \vartheta_0$ costante: MERIDIANI



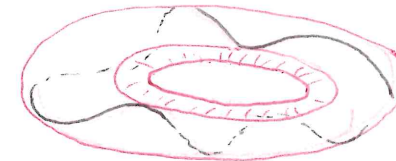
(2) se $0 < |c| < R - r$ non ci sono limitazioni effettive, le geodetiche girano sul toro intersecando gli equatori



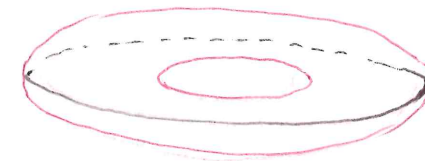
(3) se $c = R - r$ hanno limite sull'equatore interno che è una geodetica: gli sono asintotiche



(4) se $R - r < |c| < R + r$ le limitazioni sono effettive: non possono avvicinarsi all'equatore interno, rimbalzando sul parallelo limite



(5) se $c = R + r$ è l'equatore esterno.



Prima di abbandonare il toro, conviene fare questa osservazione:

se definivamo il toro come $T = S^1 \times S^1$, siccome $S^1 \subseteq \mathbb{R}^2$ otteniamo $T = S^1 \times S^1 \subseteq \mathbb{R}^2 \times \mathbb{R}^2 = \mathbb{R}^4$ e viene rappresentato da una carta

del tipo: $(\theta, \varphi) \mapsto \sigma(\theta, \varphi) = \begin{pmatrix} \cos \theta \\ \sin \theta \\ \cos \varphi \\ \sin \varphi \end{pmatrix}$

con vettori tangenti $\sigma_\theta = \begin{pmatrix} -\sin \theta \\ \cos \theta \\ 0 \\ 0 \end{pmatrix}$ e $\sigma_\varphi = \begin{pmatrix} 0 \\ 0 \\ -\sin \varphi \\ \cos \varphi \end{pmatrix}$ e primo fond. form. $G_I = \begin{pmatrix} 1 & 0 \\ 0 & 1 \end{pmatrix}$,

e quindi $T \subseteq \mathbb{R}^4$ è una superficie piana, localmente isomorfa al piano (parametrizzando un quadrato, si può vedere come quoziente algebrico $\mathbb{R}^2 / \mathbb{Z}^2$, quoziente come gruppi additivi).

In questa immersione in \mathbb{R}^4 "meridiani" e "paralleli" hanno tutti la stessa lunghezza.

Invece quando si immerge il toro in \mathbb{R}^3 lo si deforma, e i paralleli non hanno tutti la stessa lunghezza, e le curvature non è più nulla.

Gli ELICOIDI sono le superficie descritte dalle ELICHE dai punti di una fissa curva $\gamma \in \mathbb{R}^3$ (rotando attorno ad un asse e ottenendoli con la rotazione).

Supponiamo γ piana e unitaria, l'asse nel piano, e sia p il passo delle eliche:

da $\gamma = \begin{pmatrix} x(s) \\ 0 \\ z(s) \end{pmatrix}$, asse $\begin{pmatrix} 0 \\ 0 \\ 1 \end{pmatrix}$ e passo p abbiamo $\sigma(s, \vartheta) = \begin{pmatrix} x(s) \cos \vartheta \\ x(s) \sin \vartheta \\ z(s) + p\vartheta \end{pmatrix}$

e come casi particolari abbiamo $\begin{cases} \text{per } p=0 : \text{ spirale} \\ \text{per } p \neq 0, z_s=0 \text{ (z costante)} : \text{ ELICOIDE SETTORE (O DELLA RETTA)} \end{cases}$

Vediamo i calcoli standard:

$\sigma_s = \begin{pmatrix} x_s \cos \vartheta \\ x_s \sin \vartheta \\ z_s \end{pmatrix}$, $\sigma_\vartheta = \begin{pmatrix} -x \sin \vartheta \\ x \cos \vartheta \\ p \end{pmatrix}$ quindi $G_I = \begin{pmatrix} x_s^2 + z_s^2 & pz_s \\ pz_s & x^2 + p^2 \end{pmatrix} = \begin{pmatrix} 1 & pz_s \\ pz_s & x^2 + p^2 \end{pmatrix}$ diagonale se $\begin{cases} p=0 \\ z_s=0 \end{cases}$

$n = \frac{1}{\sqrt{x^2 + p^2 z_s^2}} \begin{pmatrix} px_s \sin \vartheta - x z_s \cos \vartheta \\ -px_s \cos \vartheta - x z_s \sin \vartheta \\ x x_s \end{pmatrix}$, $\tilde{\sigma}_{ss} = \begin{pmatrix} x_{ss} \cos \vartheta \\ x_{ss} \sin \vartheta \\ z_{ss} \end{pmatrix}$, $\tilde{\sigma}_{s\vartheta} = \begin{pmatrix} -x_s \sin \vartheta \\ x_s \cos \vartheta \\ 0 \end{pmatrix}$, $\tilde{\sigma}_{\vartheta\vartheta} = \begin{pmatrix} -x \cos \vartheta \\ -x \sin \vartheta \\ 0 \end{pmatrix}$,

$G_{II} = \frac{1}{\sqrt{x^2 + p^2 z_s^2}} \begin{pmatrix} -x(x_{ss} z_s - z_s z_{ss}) & -px_s^2 \\ -px_s^2 & x^2 z_s \end{pmatrix} = \begin{pmatrix} -x k_g & -px_s^2 \\ -px_s^2 & x^2 z_s \end{pmatrix} \frac{1}{\sqrt{x^2 + p^2 z_s^2}} = \begin{cases} \begin{pmatrix} -k_g & 0 \\ 0 & x z_s \end{pmatrix} & \text{per } p=0 \\ \frac{1}{\sqrt{x^2 + p^2}} \begin{pmatrix} 0 & -p \\ -p & 0 \end{pmatrix} & \text{per } z_s=0 \text{ (} \Rightarrow x_s=1 \text{)}$

$L = G_{II}^{-1} G_I$ (da calcolare, e vedere nei due casi particolari)

$K = \frac{|G_{II}|}{|G_I|} = \frac{-x^3 z_s k_g - p^2 x_s^4}{(x^2 + p^2 z_s^2)^2} = \begin{cases} -k_g z_s / x & \text{per } p=0 \\ -\frac{p^2}{(x^2 + p^2)^2} & \text{per } z_s=0 \text{ (} \Rightarrow x_s=1, k_g=0 \text{)} \\ & \text{(in questo caso e' sempre } < 0 \text{).} \end{cases}$

L'elicoido della retta è un caso particolarmente semplice: otteniamo $z_s = 0$

$$G_{\text{I}} = \begin{pmatrix} 1 & 0 \\ 0 & x^2 + p^2 \end{pmatrix}, \quad G_{\text{II}} = \frac{1}{\sqrt{x^2 + p^2}} \begin{pmatrix} 0 & -p \\ -p & 0 \end{pmatrix} \quad \text{quindi le linee coordinate sono le linee asintotiche!}$$

$$L = G_{\text{I}}^{-1} G_{\text{II}} = \frac{1}{\sqrt{x^2 + p^2}} \begin{pmatrix} 0 & -p(x^2 + p^2) \\ -p & 0 \end{pmatrix} \quad \text{quindi le linee di curvatura soddisfanno a}$$

$$\begin{vmatrix} x' & -p\theta' \\ (x^2 + p^2)\theta' & -px' \end{vmatrix} = 0$$

$$\text{cioè } \theta' = \pm \frac{x'}{\sqrt{x^2 + p^2}}$$

$$K = -\frac{p^2}{(x^2 + p^2)^2} \quad \text{sempre } < 0$$

Per cercare le geodesiche si nota che è un caso di Clairaut ($x = x(s)$ funzione di s)

$$\begin{cases} (s')' = \frac{1}{2} (2xx_s \theta'^2) & \text{e l'unitarietà dà come } s'^2 + (x^2 + p^2) \theta'^2 = 1, \\ ((x^2 + p^2) \theta')' = 0 \end{cases}$$

Da $(x^2 + p^2) \theta' = c$ costante troviamo la limitazione $\frac{c^2}{x^2 + p^2} \leq 1$

$$\text{cioè } x^2 \geq c^2 - p^2$$

il che dice che la traiettoria delle geodesiche non può essere x troppo piccolo: deve stare fuori da un cilindro attorno all'asse.

Definiamo SUPERFICIE RICATE le superficie che sono unione di segmenti (rettilinei): sono le superficie occupate da bracci meccanici (ripidi) in movimento.

Per dare una sup. rigata basta dare:

una curva $\gamma \in \mathbb{R}^3$ dei punti di appoggio

una curva $\delta \in \mathbb{R}^3$ dei vettori direttori delle rette

e allora otteniamo una parametrizzazione $\tilde{\sigma}(s, u) = \gamma(s) + u\delta(s)$.

Risulta $\tilde{\sigma}_s = \gamma' + u\delta'$, $\tilde{\sigma}_u = \delta$

quindi è regolare ($\tilde{\sigma}_s, \tilde{\sigma}_u$ lin. indip) per esempio se γ' e δ sono lin. indip e u piccolo,
oppure se γ' e δ sono lin. indip e $\delta \perp \delta'$.

Rossiano inoltre sapere che δ se è una curva sferica (anche unitaria sulla sfera unitaria).

Invece normalizzare le curve γ è più difficile.

Provate a sviluppare i calcoli usuali!

(Contro)esemp. di isometrie : consideriamo le seguenti tre superfici:

Ⓔ Elicoide della retta

$$\sigma(u,v) = \begin{pmatrix} u \cos v \\ u \sin v \\ v \end{pmatrix}$$

$$G_I = \begin{pmatrix} 1 & 0 \\ 0 & 1+u^2 \end{pmatrix}$$

$$G_{II} = \frac{1}{\sqrt{1+u^2}} \begin{pmatrix} 0 & -1 \\ -1 & 0 \end{pmatrix}$$

$$K = -\frac{1}{(1+u^2)^2}$$

Ⓕ Superficie rotata logaritmo:

$$\sigma(u,v) = \begin{pmatrix} u \cos v \\ u \sin v \\ \log u \end{pmatrix}$$

$$G_I = \begin{pmatrix} 1+\frac{1}{u^2} & 0 \\ 0 & u^2 \end{pmatrix}$$

$$G_{II} = \begin{pmatrix} -\frac{1}{u} & 0 \\ 0 & u \end{pmatrix} \frac{1}{\sqrt{1+u^2}}$$

$$K = -\frac{1}{(1+u^2)^2}$$

Ⓖ CATENOIDE = sup. rotata catenaria

$$\sigma(z,\theta) = \begin{pmatrix} \operatorname{ch}(z) \cos \theta \\ \operatorname{ch}(z) \sin \theta \\ z \end{pmatrix}$$

$$G_I = \operatorname{ch}^2(z) \begin{pmatrix} 1 & 0 \\ 0 & 1 \end{pmatrix}$$

$$G_{II} = \begin{pmatrix} -1 & 0 \\ 0 & 1 \end{pmatrix}$$

$$K = -\frac{1}{\operatorname{ch}^4(z)}$$

Vediamo che Ⓔ ed Ⓕ hanno la stessa curvatura, ma non sono isometrici:

se esistesse una isometria $(u,v) \mapsto (\bar{u}(u,v), \bar{v}(u,v))$ dovrebbe essere $\bar{u} = \pm u$ (da volere K),

e per rispettare la pff: $\frac{1+u^2}{u^2} du^2 + u^2 dv^2 = \frac{1+\bar{u}^2}{\bar{u}^2} d\bar{u}^2 + \bar{u}^2 d\bar{v}^2 = \frac{1+u^2}{u^2} du^2 + u^2 (\bar{v}_u du + \bar{v}_v dv)^2$

e si vede che c'è il termine $u^2 d\bar{v}^2$, che non compare nelle pff di Ⓔ.

Vediamo che Ⓔ e Ⓖ sono isometrici: usiamo la pff di Ⓖ

$$\operatorname{ch}^2(z) dz^2 + \operatorname{ch}^2(z) d\theta^2 = d(\operatorname{sh} z)^2 + (1 + \operatorname{sh}^2(z)) d\theta^2 = du^2 + (u^2 + 1) dv^2 \quad \text{ponendo } \begin{cases} u = \operatorname{sh}(z) \\ v = \theta \end{cases}$$

$$\text{cioè } \begin{cases} z = \operatorname{arsh}(u) \\ \theta = v \end{cases}$$

Controlliamo la curvatura: $K = -\frac{1}{(1+u^2)^2}$ diventa $-\frac{1}{(1+\operatorname{sh}^2(z))^2} = -\frac{1}{\operatorname{ch}^4(z)}$.